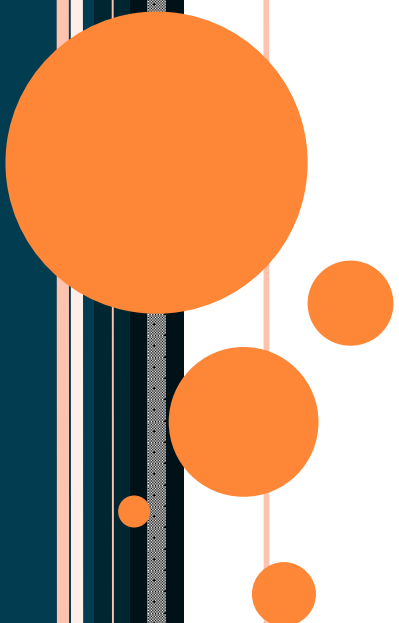


# Опытная эксплуатация системы автоматического мониторинга тропических циклонов



Ерёменко А.С., Боловин Д.А. Институт Автоматики и  
Процессов Управления, ДВО РАН (690041, Владивосток, ул.  
Радио 5, тел.: +7(4232)310468  
e-mail: [academy21@iacp.dvo.ru](mailto:academy21@iacp.dvo.ru))



## Постановка задачи

Создание автоматической системы слежения за тропическими циклонами (ТЦ).

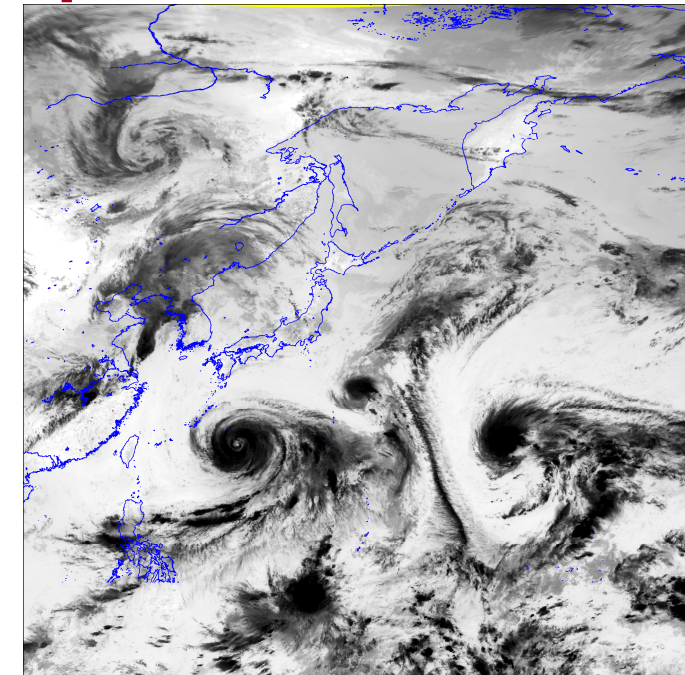
Функции системы:

- обнаруживать ТЦ и отбраковывать ложные объекты;
- определять координаты его центра и геометрические размеры ТЦ;
- строить радиальные профили влагосодержания, оценивать характеристики тёплого ядра ТЦ и оценивать перепад давления в ТЦ.



# Используемые данные и алгоритмы

Для алгоритмов автоматического обнаружения ТЦ используются инфракрасные (ИК) снимки с геостационарного спутника MTSAT-1R с пространственным разрешением в 4км. Для каждого снимка строится карты доминантных ориентаций термических контрастов (ДОТК).



Профили температуры и влажности атмосферы рассчитываются по данным радиометров **ATOVS** полярно-орбитальных метеорологических спутников серии **NOAA** европейскими пакетами программ **AAPP**, **RTTOV** и **MetOffice-Dvar**.

Спутниковые данные были получены из **NOAA Comprehensive Large Array-data Stewardship System (CLASS)** с помощью автоматической системы оформления и получения заказов собственной разработки.

## Используемые алгоритмы

1. Алгоритм поиска «глаза» ТЦ.
2. Алгоритм поиска центра ТЦ с использованием карт ДОТК.
3. Автоматическое прослеживание ТЦ с отбраковкой ложных объектов.
4. Расчёт профилей температуры и влажности.

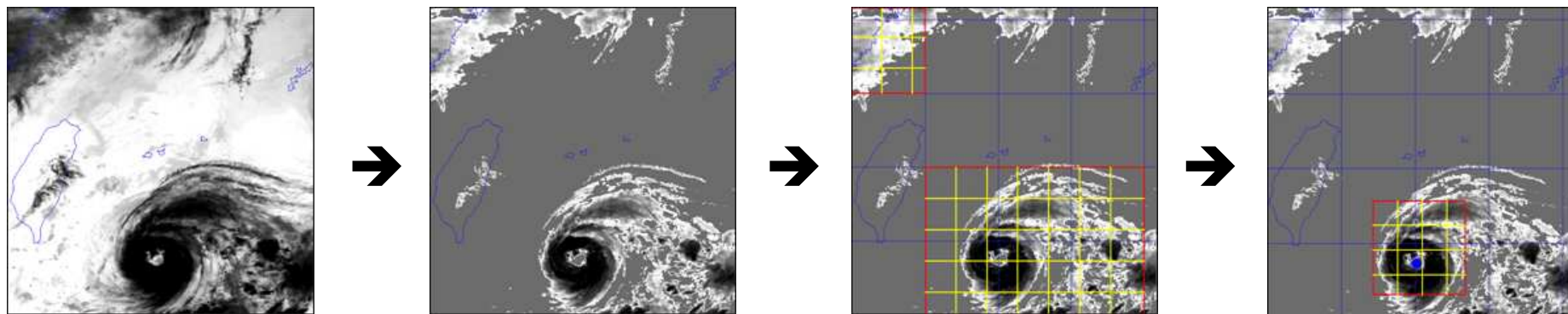
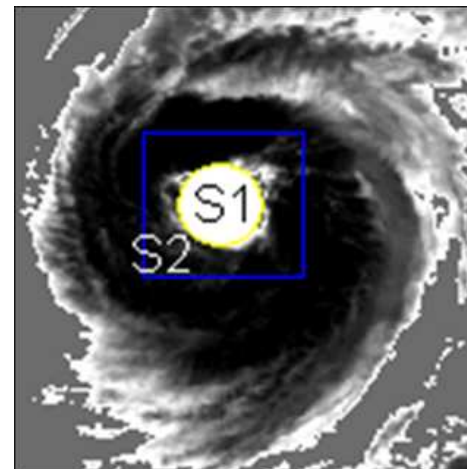
## Критерий разделимости участков:

$$u = \sqrt{\frac{m_1 m_2 (m_1 + m_2 - 2)}{m_1 + m_2}} \frac{\bar{s}_1 - \bar{s}_2}{\sqrt{m_1 \hat{\sigma}_1^2 + m_2 \hat{\sigma}_2^2}}$$

$S_1$  и  $S_2$  – две выборки с объёмами  $m_1$  и  $m_2$

$\hat{\sigma}_1^2$  и  $\hat{\sigma}_2^2$  – оценки дисперсий, полученные по выборкам  $S_1$  и  $S_2$

При  $u > u_{st}$  окно  $S_1$  обнаружителя расположено в области «глаза» тайфуна, а окно  $S_2$  в районе низкотемпературной облачности тайфуна. Где  $u_{st}$  – заданное значение порога.



Изображение  
на входе

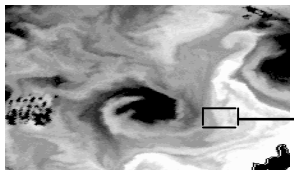
Обработка по  
порогу  
температуру

Выделение  
участков  
облачности

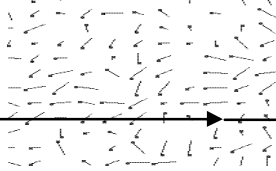
Расчёт глаза  
по критерию



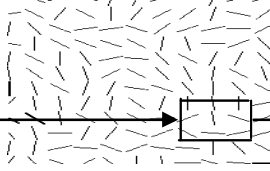
# Доминантные ориентации контрастов яркости



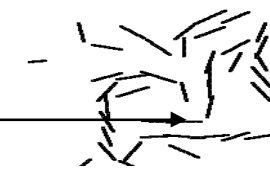
Поле яркости



Поле градиентов яркости

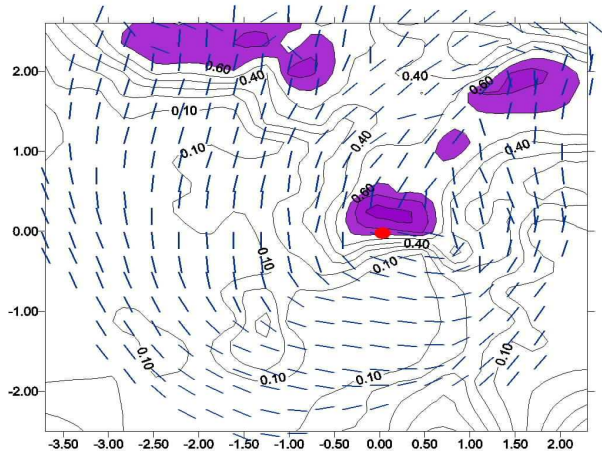


Поле ориентаций контрастов

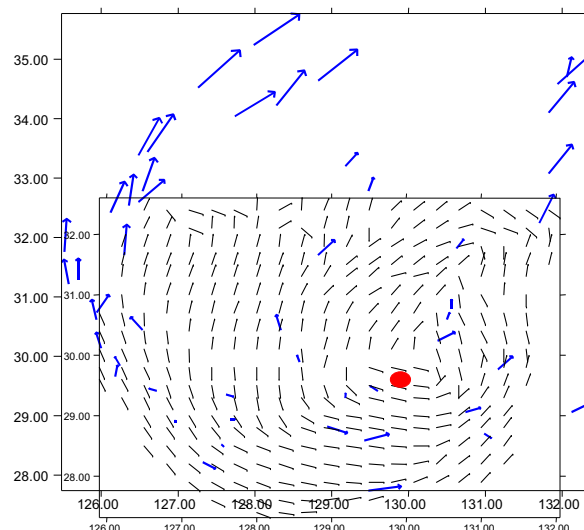


Поле доминантных ориентаций контрастов

## Сравнение ДОТК с направлениями ветра ТЦ



Анализ временной устойчивости ДОТК.  
Изолинии изменчивости ориентаций контрастов за 14.09.97 в радианах.



Аэрологические измерения скорости ветра и ДОТК

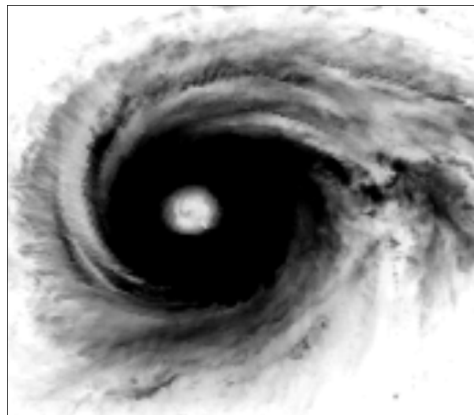
## Сравнение структур с аэрологическими скоростями.

Средняя корреляция скоростей и структур  
и среднее рассогласование:  $\rho = 0.78$ ,  $\phi = 0.61$  рад.

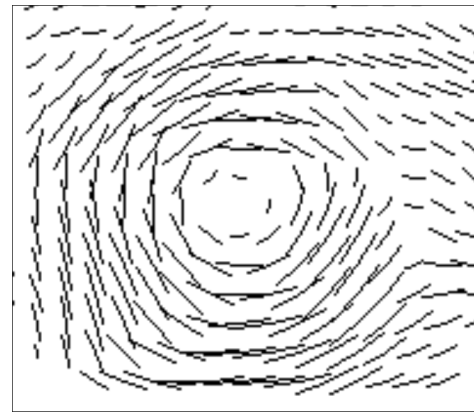
Сравнения структур со скоростями, рассчитанными по последовательности спутниковых изображений:  $\rho = 0.84$ ,  $\phi = 0.46$  рад



## Расчёт параметров ТЦ по ДОТК



Изображение тайфуна



Карта доминант

**Цель** – найти начальное приближение центра тайфуна.

**Метод:**

1. Начальное приближение центра тайфуна
2. Определение радиуса круговой циркуляции

Критерий качества – рассогласование доминант с круговой моделью ТЦ:

$$\rho_c = \frac{1}{N} \sum \min(|\Theta t - \Theta d|, \pi - |\Theta t - \Theta d|)$$

где  $C$  – величина радиуса круга;  $N$  – количество точек;  $\Theta t$  и  $\Theta d$  – значение углов модели и ДОТК.



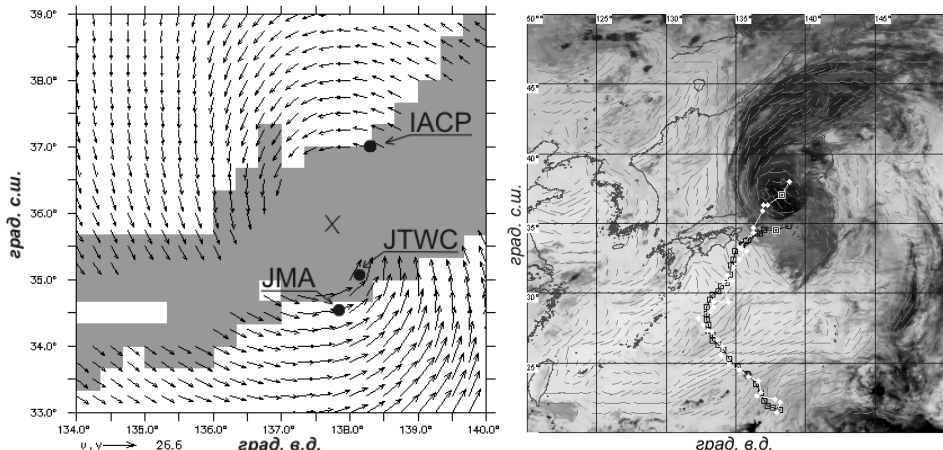
## Недостатки, выявленные в результате работы алгоритмов

Для тестирования алгоритма было взято **206** изображений ТЦ со спутника **GMS-5**. Максимальная скорость ветра (по данным **JMA**) находилась в диапазоне от **15м/с** до **45м/с**. Все ТЦ с максимальной скоростью ветра более **25м/с** имели хорошо выраженную структуру облачности, и были выделены алгоритмом.

### 1. Неверное определение центра для «слабых» ТЦ.

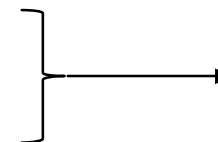
ТЦ со скоростью ветра менее **25м/с** были на стадии затухания, имели «размытую» структуру облачности и не имели «глаза».

Алгоритм не смог выделить ТЦ на **7-ми** изображениях из **44-х**. В худшем случае отклонение от реального центра ТЦ составило **265км**.



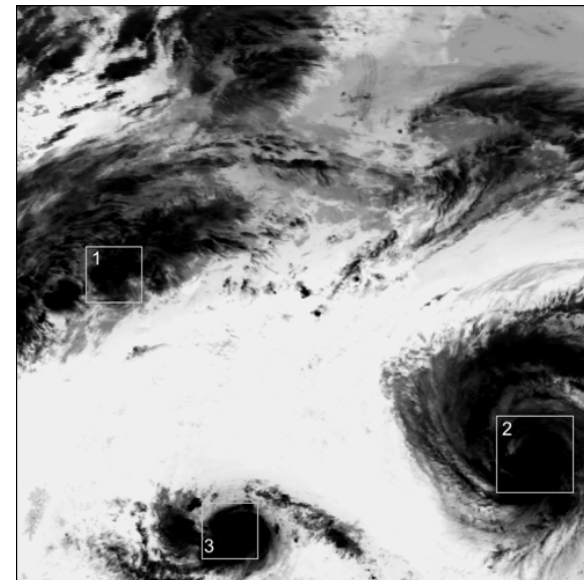
ТЦ **RAVUK** (22.08.2001 23:39 UTC)  
Отклонение от центра на **256км**.

### 2. Ложные определения ТЦ согласно текущим настройкам алгоритмов.



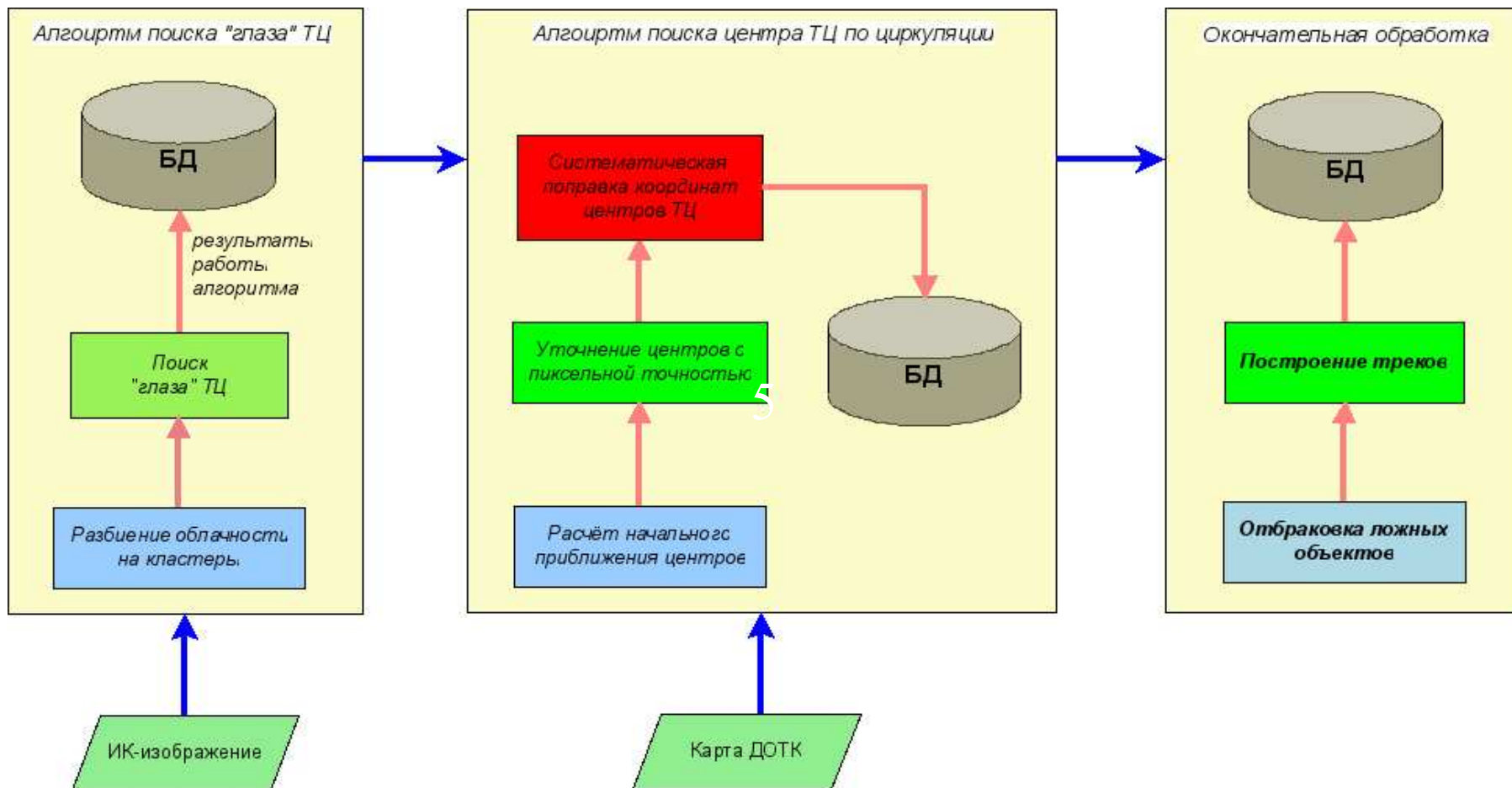
Для **206** исследованных ИК-изображений ТЦ было найдено **162** ложных объекта.

Ложные объекты отбрасываются по серии, состоящей из не менее, чем **3-х** снимков с интервалом в **1ч**.





# Схема работы системы обнаружения ТЦ



Общая схема алгоритма:

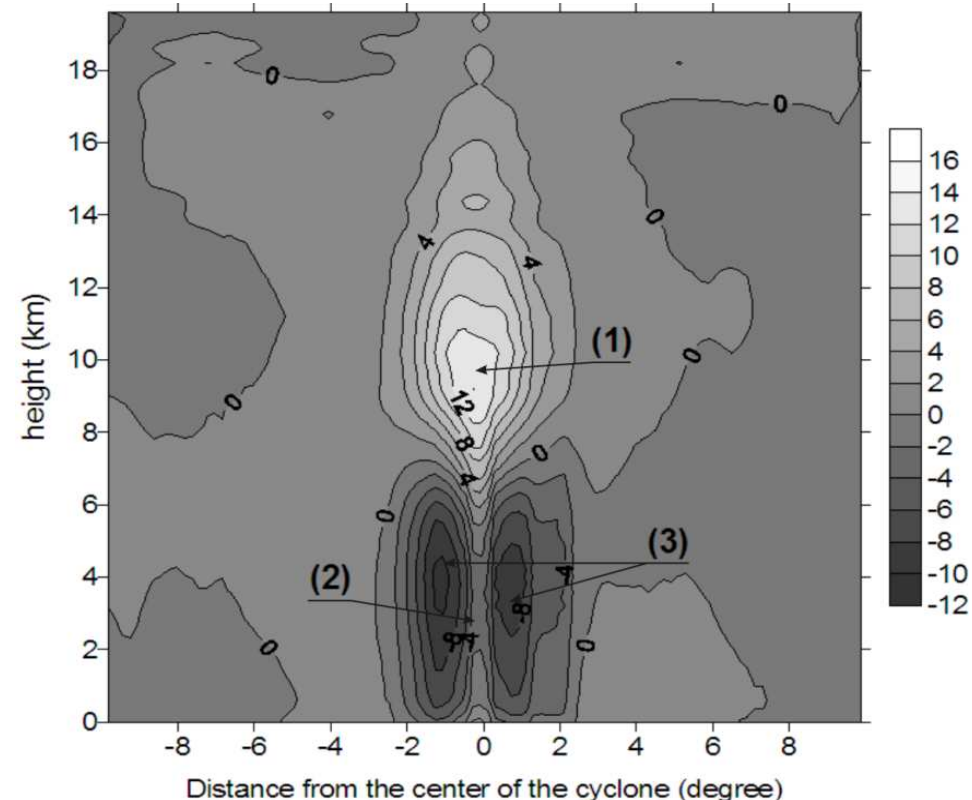
1. Для каждого облачного кластера (линейные размеры более 200км) производится расчёт **t-критерия** разделимости участков облачности. По установленной величине производится отбраковка.
2. Поиск начальных приближений центров ТЦ на основе алгоритма поиска циркуляций. Далее производится уточнение центров ТЦ с пиксельной точностью.
3. Все полученные координаты предполагаемых центров ТЦ проходят отбраковку по серии из 3-х спутниковых снимков.



## 3-х мерная структура ТЦ (1)

Траектория ТЦ является основой для автоматического вычисления и анализа 3-х мерной структуры ТЦ. Вертикальные атмосферные профили **Температуры и влажности**, рассчитываемые на основе данных с радиометра **ATOVS/NOAA** пакетом программ от Европейского Космического Агентства, используются для проведения анализа.

Один проход **NOAA/ATOVS** приводит к необходимости решения около **10тыс.** Задач нелинейного программирования (на кластере) **15ТФлопс.** Все вычисления Проходят в полностью автоматическом режиме.

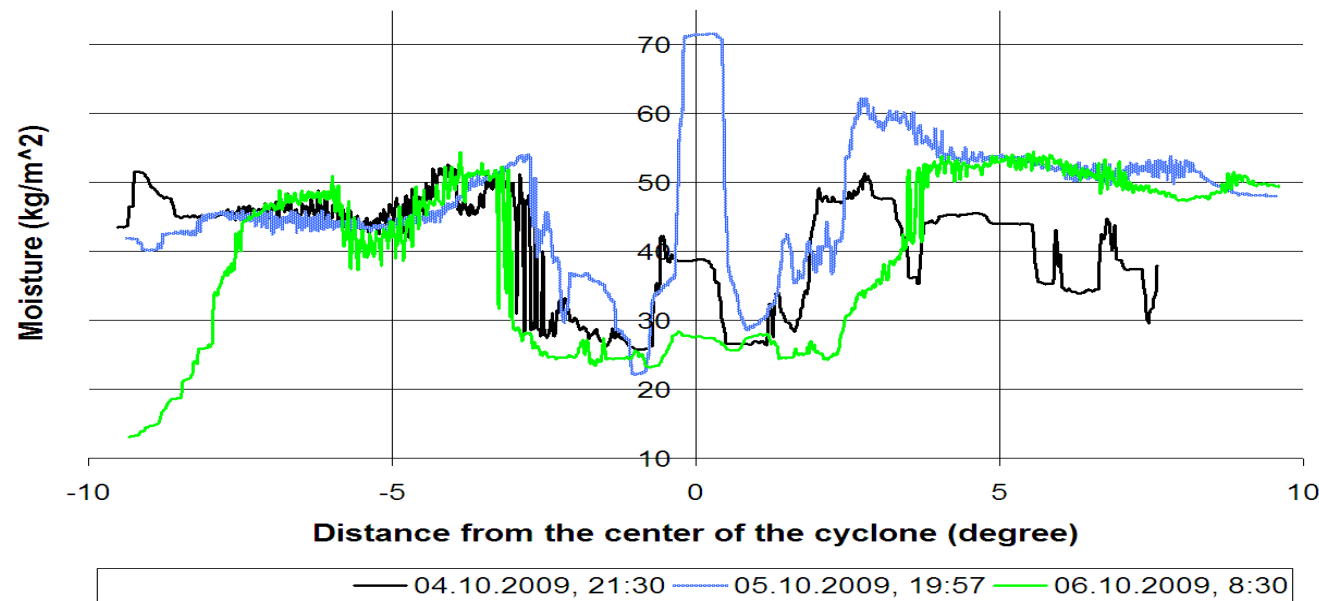


Вертикальна кросс-секция температурной аномалии ТЦ “MELOR”вдоль радиуса (5 Октября, 2009г., 18:30UTC). Видны два тёплых ядра (1), глаз ТЦ (2) и зоны обильных осадков (3).



## 3-х мерная структура ТЦ (2)

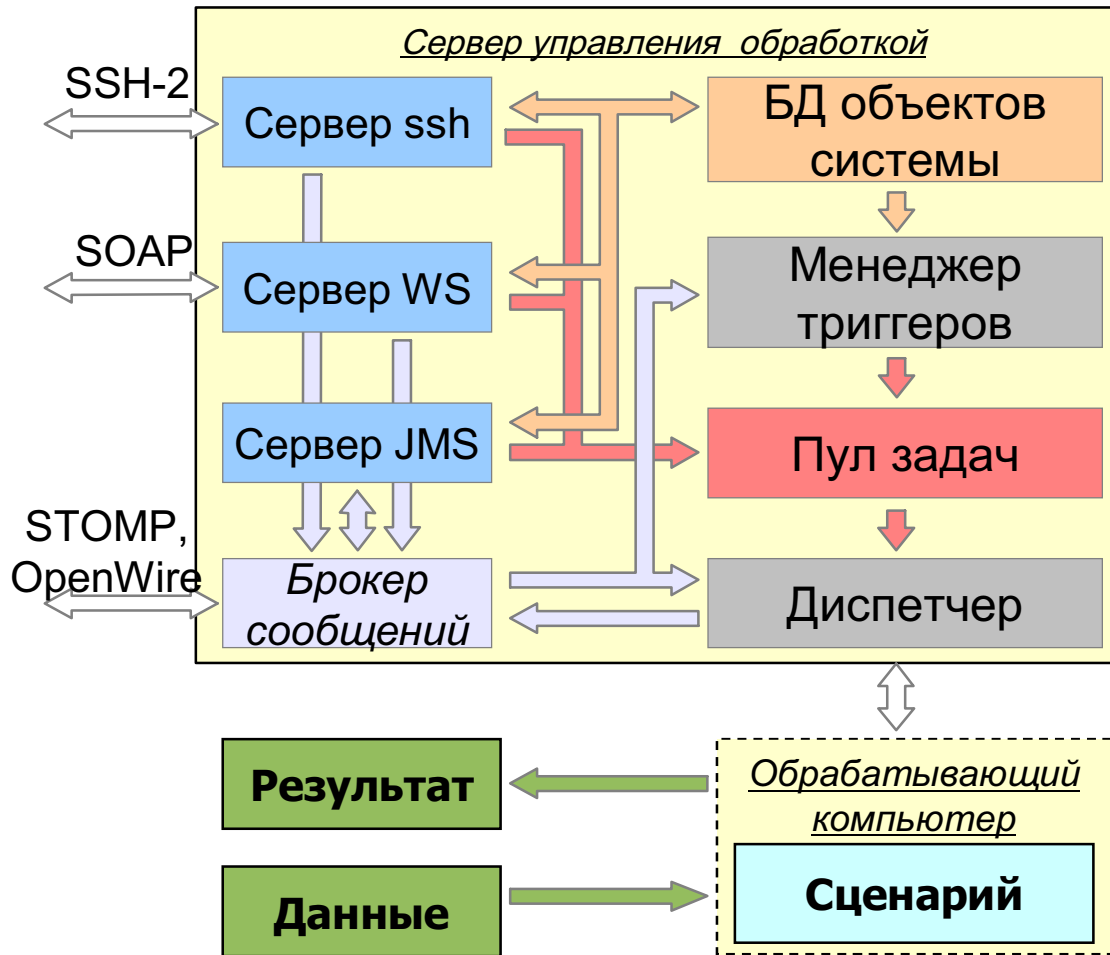
**Температура и высота** тёплого ядра совместно с параметрами зоны обильных осадков напрямую связаны с энергией ТЦ и его фазой развития. Влажность, содержащаяся в ТЦ позволяет произвести оценку его параметров.



Пример абсолютного влагосодержания (суммарно всем слоям профиля), осреднённого вдоль радиуса ТЦ “MELOR“ в соответствии с хронологией.



# Структура распределённой системы обработки



- Доступ к системе обеспечивается посредством множества протоколов, таких как **SSH-2, SOPA, STOMP, OpenWire**.
- Запуск и контроль задач на удалённых машинах осуществляется посредством протокола **SSH-2**.
- Система триггеров позволяет осуществить запуск схем по событию, т. е. организовать разветвлённые цепочки обработки.

**Диспетчер обработки реализован на платформе Java EE, в качестве системы передачи сообщений использует JMS(Java Message Service).**

**Инициатором запуска сценария может быть не только пользователь, но и другой сценарий. Возможен как асинхронный запуск сценария, так и синхронный (т.е. с ожиданием завершения работы).**

**Формализован только набор параметров и ненулевой код возврата в случае ошибки.**



# Общая схема работы системы

